

ESTUDO FITOQUÍMICO E AVALIAÇÃO DA ATIVIDADE ANTI-INFLAMATÓRIA DE *Aeschynomene fluminensis* VELL. (FABACEAE)*

Marlene Capelin Ignoato, Rodrigo Monteiro Fabrão, Ivânia Teresinha Albrecht Schuquel, Marcos Felipe Pinatto Botelho e Silvana Maria de Oliveira Santin*

Departamento de Química, Universidade Estadual de Maringá, 87020-900 Maringá – PR, Brasil

Laura Lícia Milani de Arruda e Ciomar Aparecida Bersani-Amado

Departamento de Farmacologia e Terapêutica, Universidade Estadual de Maringá, 87020-900 Maringá – PR, Brasil

Maria Conceição de Souza

Departamento de Biologia, Universidade Estadual de Maringá, 87020-900 Maringá – PR, Brasil

Tabela 1S. Dados de RMN de $^{13}\text{C}/\text{DEPT}$ (75,45 MHz) e ^1H (300,06 MHz) e gHMBC para a substância **7** em CD_3OD [ppm] (multiplicidade J Hz) e dados da literatura⁹ para a iso-hemifloina

C	7	$^1\text{H}/\text{gHSQC}$	iso-hemifloina ⁹
2	80,4 (CH)	5,33 $d/J= 3,0$ e 12,3 Hz	78,4 (CH)
3	43,9 (CH_2)	Ha 2,72 $d/J= 3,0$ e 17,1 Hz Hb 3,11 $d/J=12,3$ e 17,1 Hz	42,1 (CH_2)
4	198,0 (C)		196,6 (C)
5	164,2 (C)		161,8 (C)
6	96,4 (CH)	5,95 sl	95,0 (C)
7	167,5 (C)		166,1 (C)
8	106,0 (C)		105,9 (CH)
9 (8a)	163,0 (C)		162,9 (C)
10 (4a)	103,2 (C)		101,6 (C)
1'	130,9 (C)		129,0 (C)
2' e 6'	129,0 (CH)	7,29 $d/J= 8,7$ Hz	128,4 (CH)
3' e 5'	116,3 (CH)	6,80 $d/J= 8,7$ Hz	115,4 (CH)
4'	159,0 (C)		157,8 (C)
1''	75,2 (CH)	4,78 $d/J= 10,2$ Hz	73,1 (CH)
2''	72,6 (CH)	4,12 m	70,5 (CH)
3''	80,2 (CH)	3,39-3,44 m	79,2 (CH)
4''	71,8 (CH)	3,32-3,37 m	70,8 (CH)
5''	82,5 (CH)	3,39-3,44 m	81,6 (CH)
6''	62,9 (CH_2)	Ha 3,71 $d/J= 2,7$ e 5,4 Hz Hb 3,82 $d/J= 2,7$ e 5,4 Hz	61,7 (CH_2)
			(DMSO_d)

*e-mail: smoliveira@uem.br

#Artigo em homenagem ao Prof. Otto R. Gottlieb (31/8/1920-19/6/2011)

Tabela 2S. Dados de RMN de $^{13}\text{C}/\text{DEPT}$ (75,5 MHz) e ^1H (300 MHz) para a substância **8** em CD_3OD [ppm] (multiplicidade J Hz) e dados da literatura¹⁰ para o dímero

C	8	$^1\text{H}/\text{HSQC}$	Procianidina A ₂ / ^1H	
2	100,3 (C)		100,2	
3	68,2 (CH)	4,05 $dJ=3,3$ Hz	68,1	4,05 $dJ=3,4$ Hz
4	29,4 (CH)	4,40 $dJ=3,3$ Hz	29,3	4,39 $dJ=3,4$ Hz
4a	104,4 (C)		104,3	
5	157,2 (C)		157,1	
6	98,4 (CH)	6,00 $dJ=2,4$ Hz	98,3	6,00 $dJ=2,3$ Hz
7	158,3 (C)		158,2	
8	96,8 (CH)	6,06 $dJ=2,4$ Hz	96,7	6,07 $dJ=2,3$ Hz
8a	154,4 (C)		154,3	
9	132,6 (C)		132,5	
10	115,8 (CH)	7,14 $dJ=2,1$ Hz	115,7	7,14 $dJ=2,4$ Hz
11	146,5 (C)		146,3	
12	145,8 (C)		145,7	
13	116,2 (CH)	6,81 $dJ=8,1$ Hz	116,1	6,82 $dJ=8,2$ Hz
14	120,5 (CH)	7,02 $ddJ=1,8$ e 3,9 Hz	120,4	7,07 $ddJ=2,4$ e 8,2 Hz
2'	81,9 (CH)	4,91 <i>br.s</i>	81,8	4,91 <i>br.s</i>
3'	67,2 (CH)	4,23 $dJ=3,3$ Hz	67,0	4,23 <i>br.s</i>
4'	30,1 (CH ₂)	H α 2,75 $ddJ=2,4$ e 17,1 Hz H β 2,94 $ddJ=2,4$ e 17,3 Hz	29,9	H α 2,74 $ddJ=3,2$ e 17,3 Hz H β 2,95 $ddJ=4,6$ e 17,3 Hz
4'a	102,6 (C)		102,5	
5'	156,8 (C)		156,7	
6'	96,6 (CH)	6,08 <i>sl</i>	96,5	6,09 <i>s</i>
7'	152,5 (C)		152,3	
8'	107,4 (C)		107,3	
8'a	152,3 (C)		152,3	
9'	131,4 (C)		131,2	
10'	115,8 (CH)	7,12 $dJ=2,1$ Hz	115,7	7,13 $dJ=2,2$ Hz
11'	146,9 (C)		146,8	
12'	146,2 (C)		146,0	
13'	116,1 (CH)	6,79 $dJ=8,1$ Hz	116,0	6,81 $dJ=8,2$ Hz
14'	119,9 (CH)	6,99 $ddJ=1,5$ e 3,9 Hz	119,8	6,99 $ddJ=2,2$ e 8,2 Hz
			CD ₃ OD	



Figura 1S. *Aeschynomene fluminensis* – foto cedida pelo Laboratório de Mata Ciliar/Nupélia/UEM

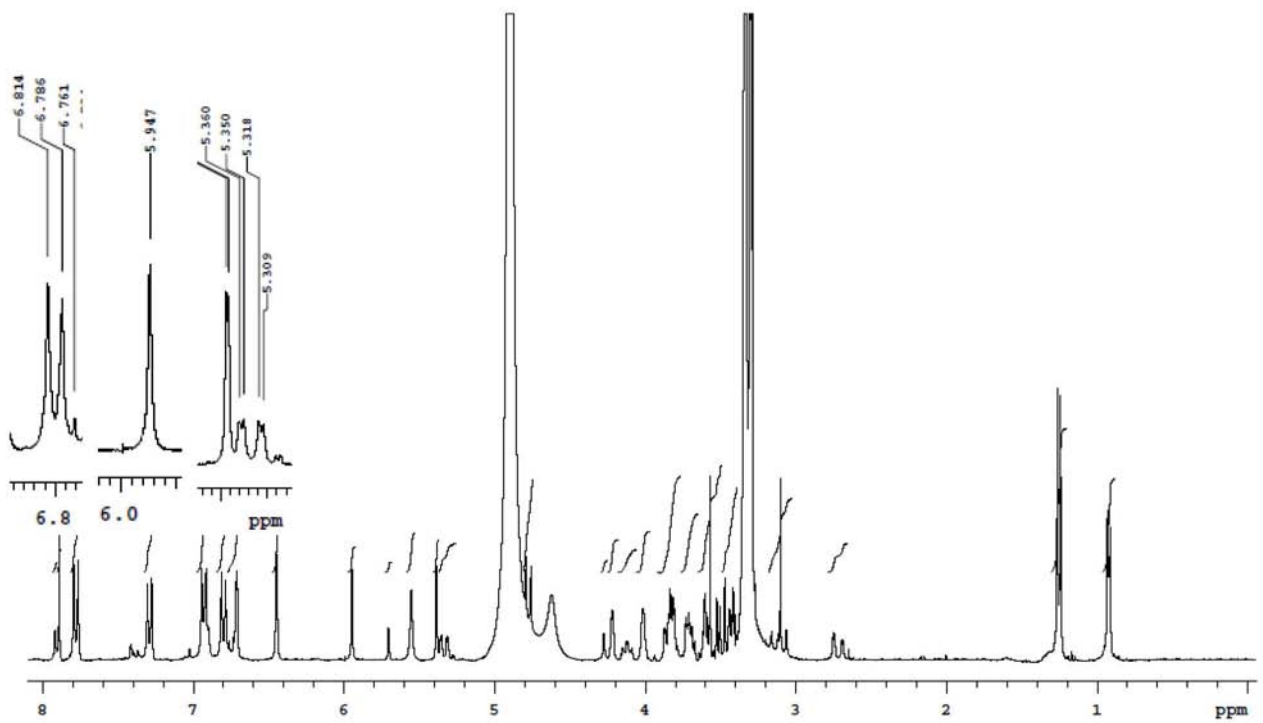


Figura 2S. Espectro de RMN de ^1H (CD_3OD ; 300 MHz) para a mistura 1 e 7

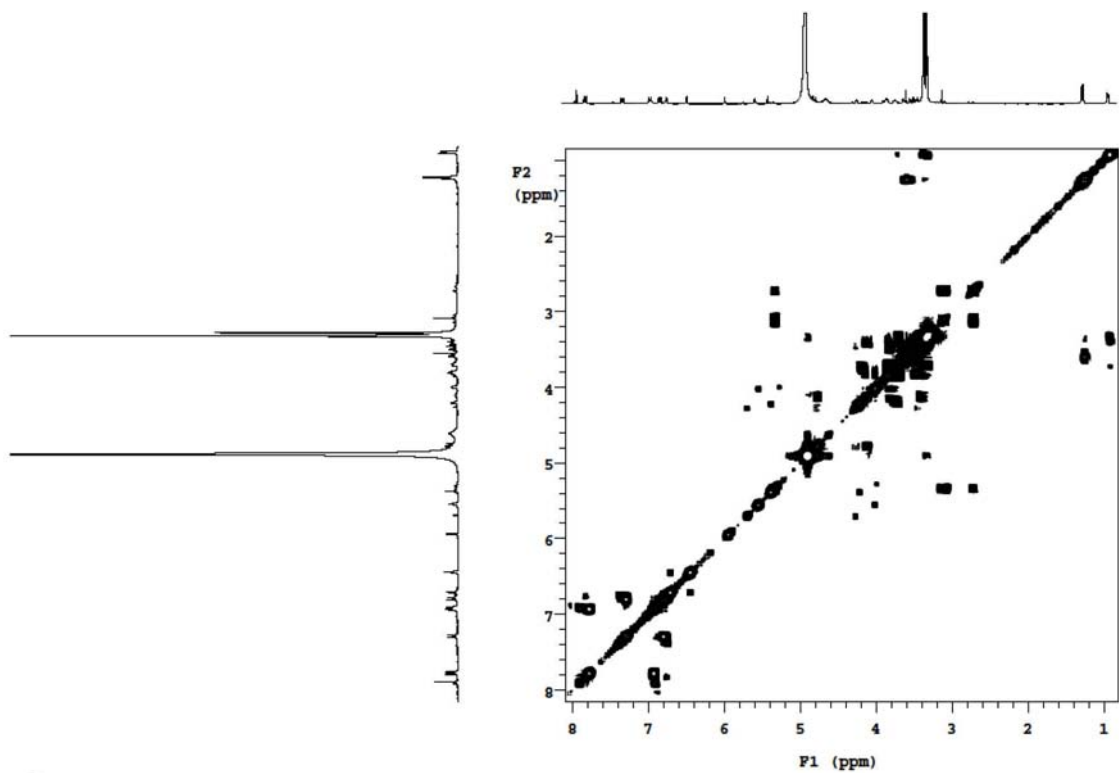


Figura 3S. Mapa de contornos gCOSY (CD_3OD ; 300 MHz) para a mistura das substâncias 1 e 7

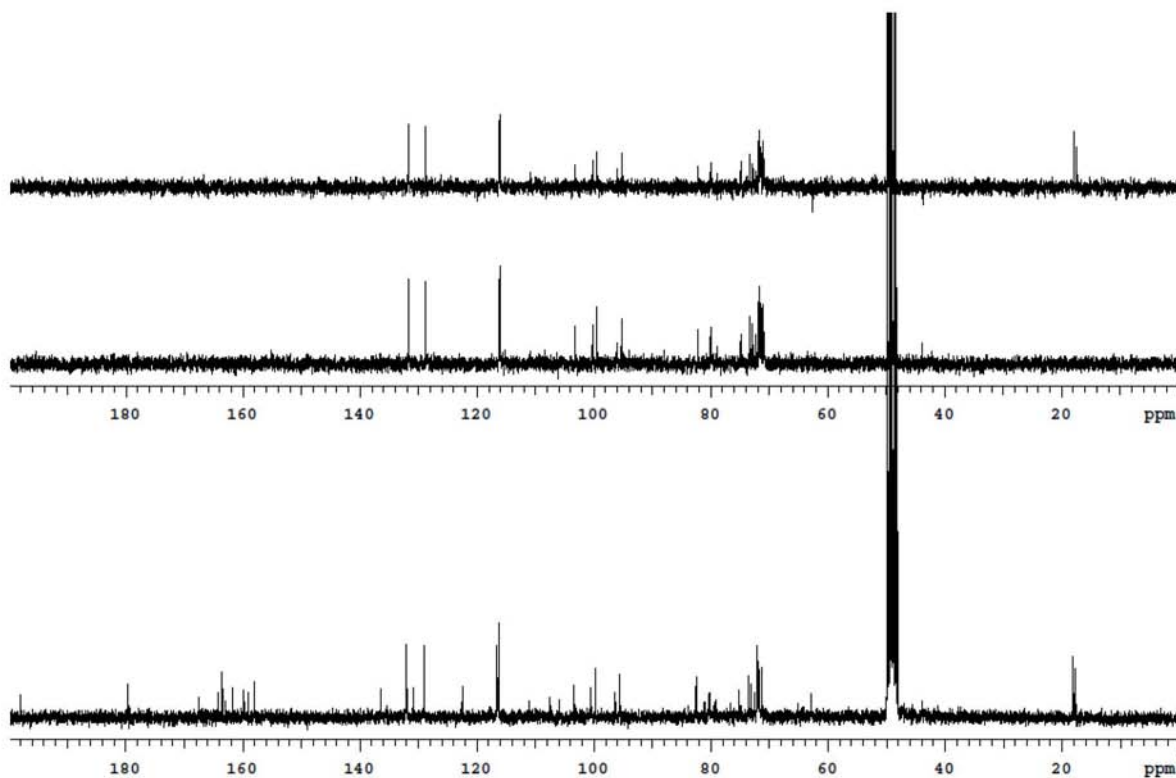


Figura 4S. Espectro de RMN de $^{13}\text{C}/\text{DEPT}$ (CD_3OD ; 75,5 MHz) para a mistura das substâncias 1 e 7

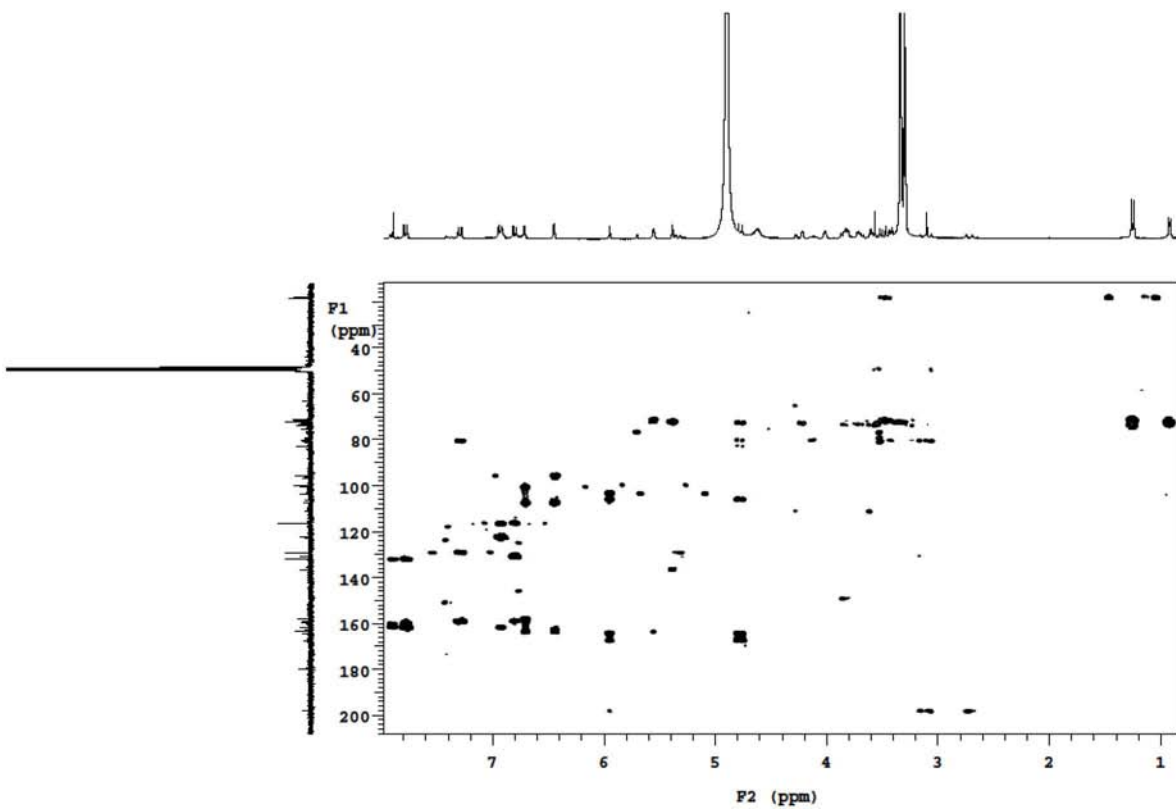


Figura 5S. Mapa de contornos $g\text{HMBC}$ (CD_3OD ; 75,5 e 300 MHz) para a mistura das substâncias 1 e 7

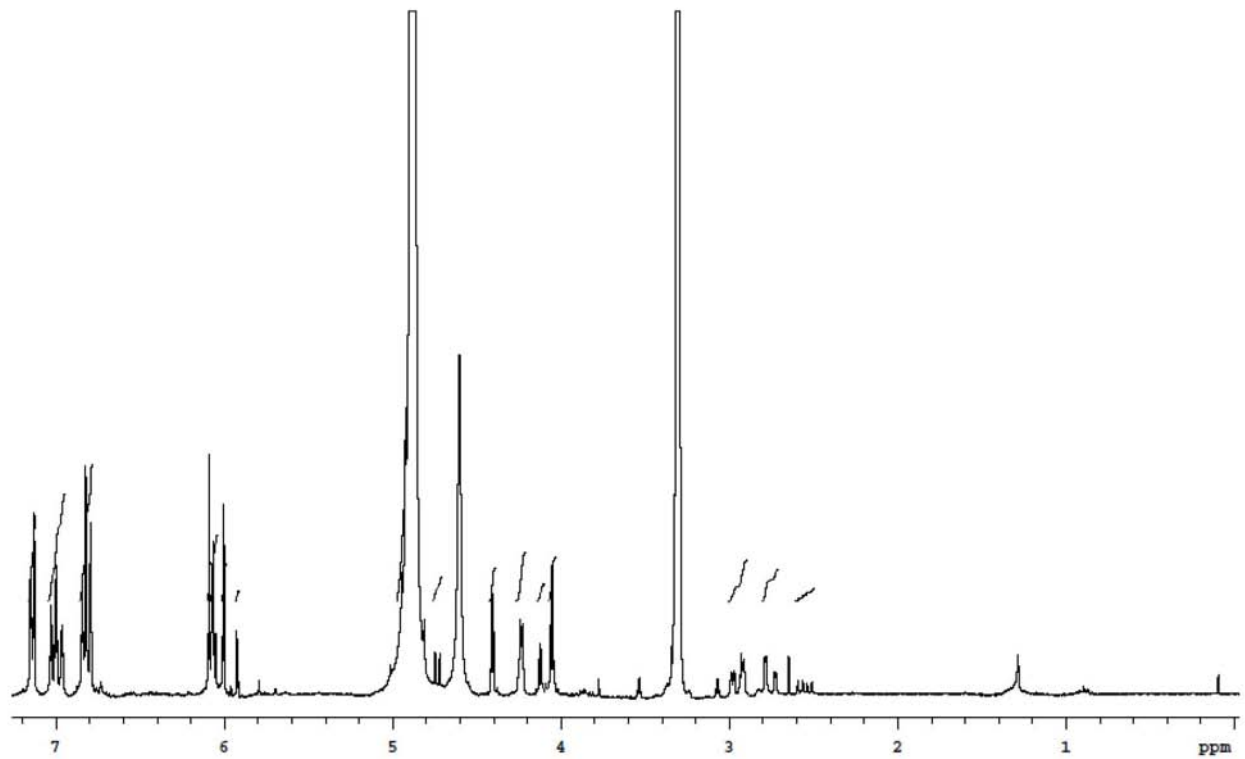


Figura 6S. Espectro de RMN de ^1H (CD_3OD ; 300 MHz) para a substância 8

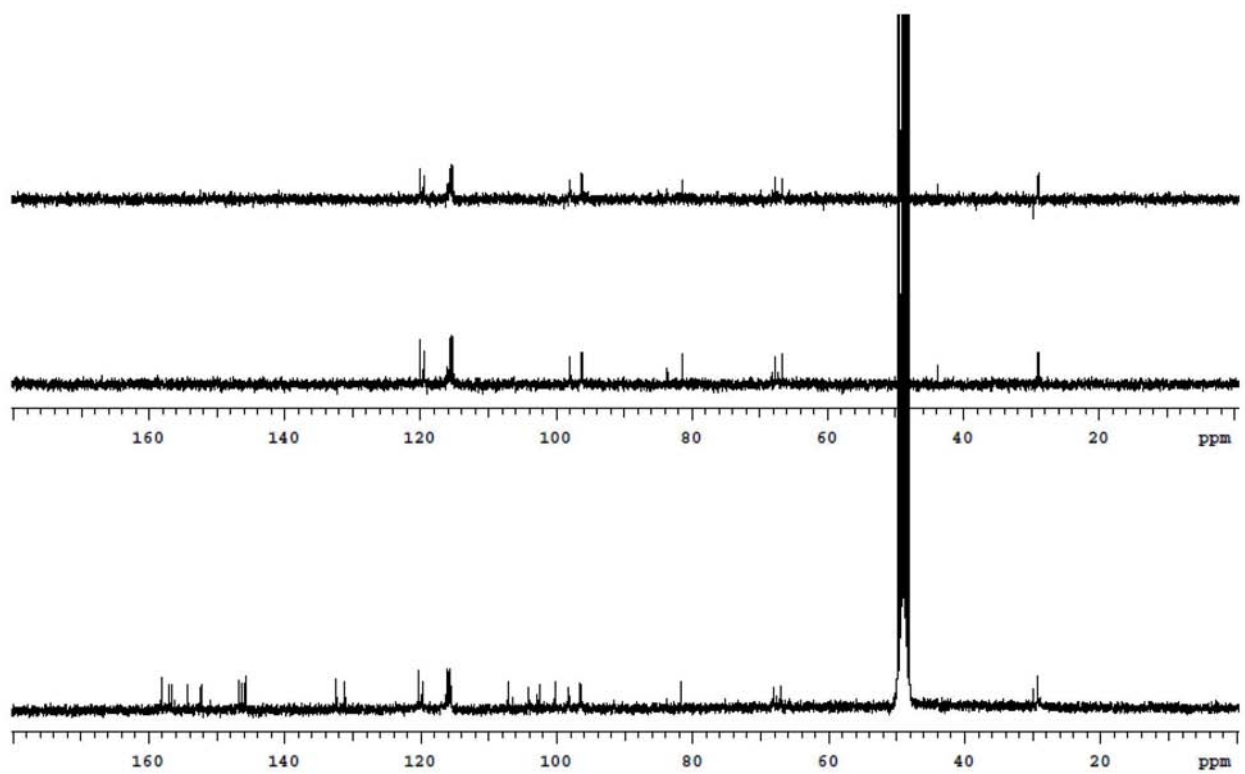


Figura 7S. Espectro de RMN de $^{13}\text{C}/\text{DEPT}$ (CD_3OD ; 75 MHz) para a substância 8

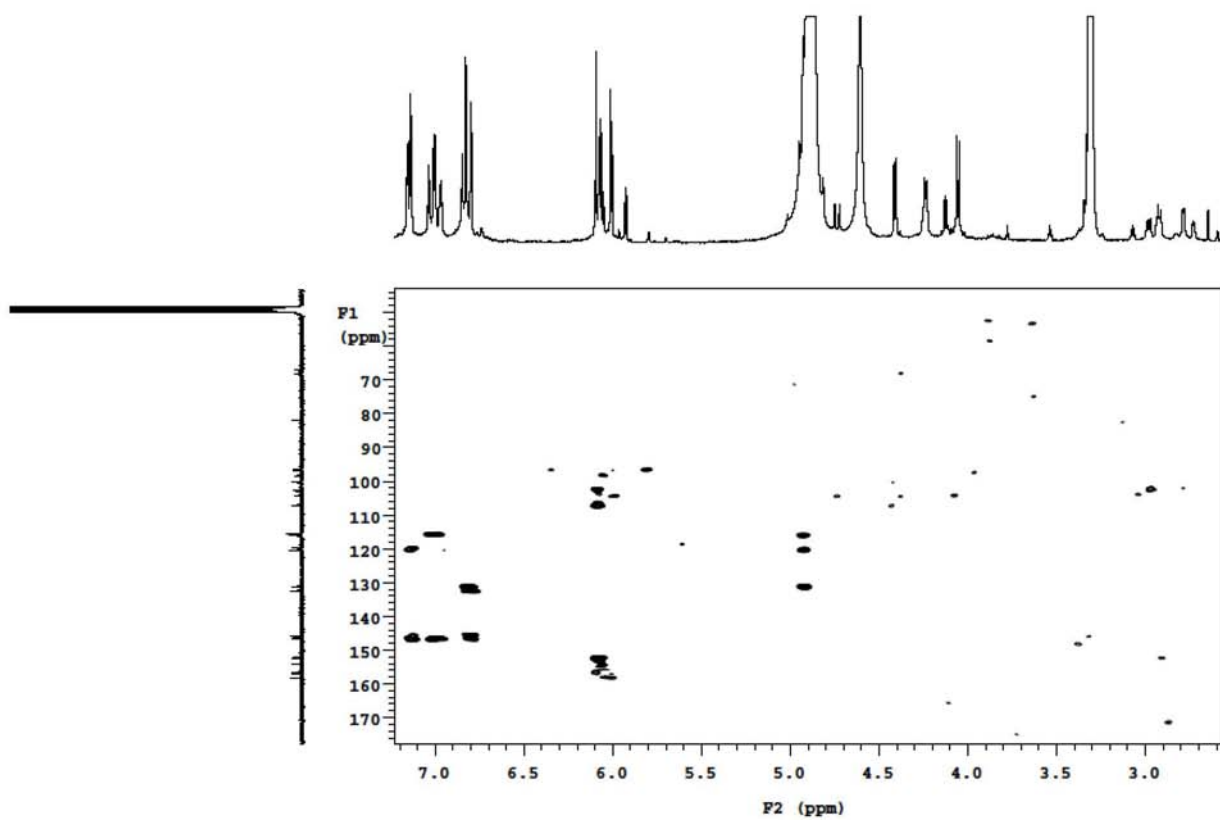


Figura 8S. Mapa de contornos gHMBC (CD_3OD ; 75 e 300 MHz) para a substância 8

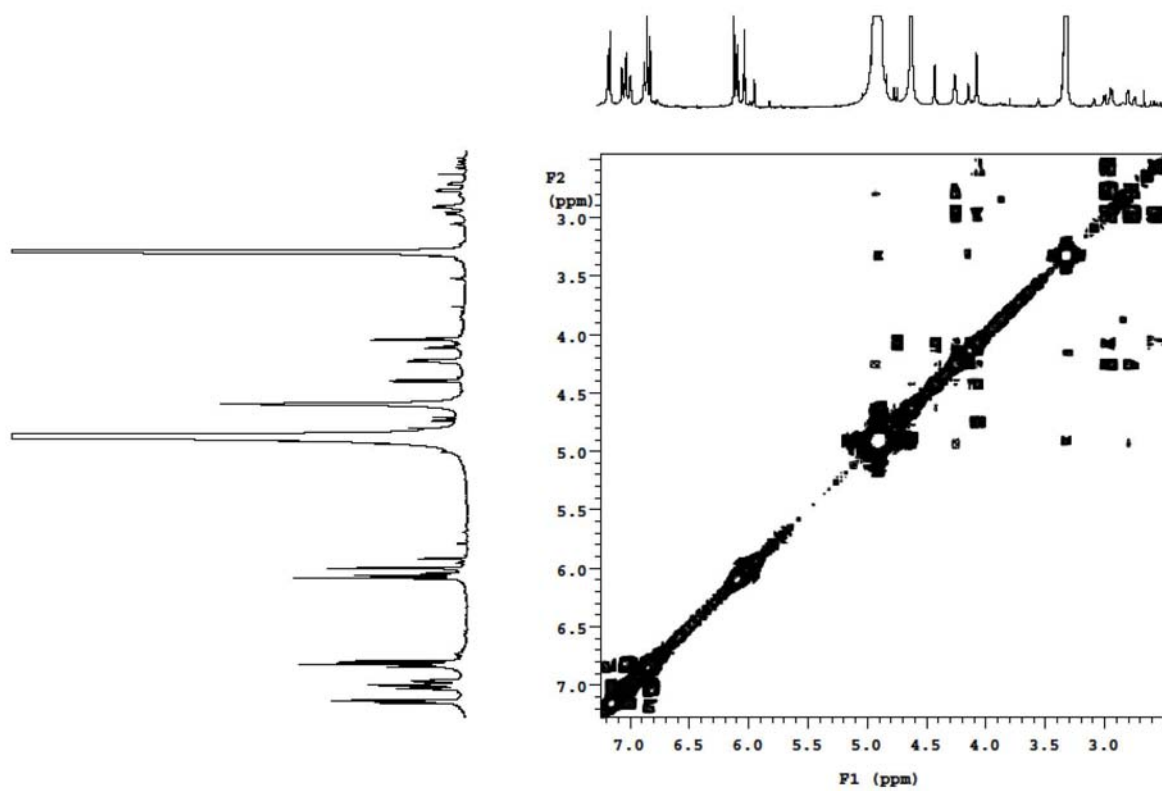


Figura 9S. Mapa de contornos gCOSY (CD_3OD ; 300 MHz) para a substância 8

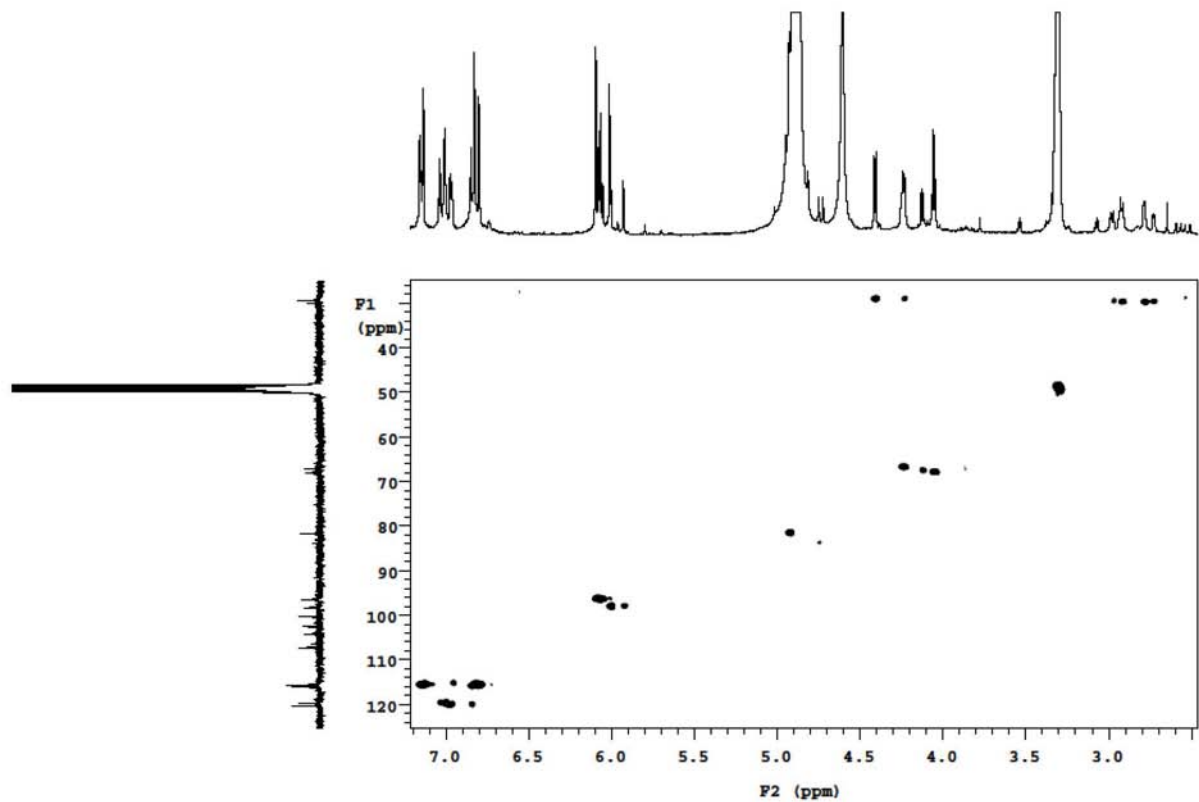


Figura 10S. Mapa de contornos gHSQC (CD_3OD ; 75 e 300 MHz) para a substância 8

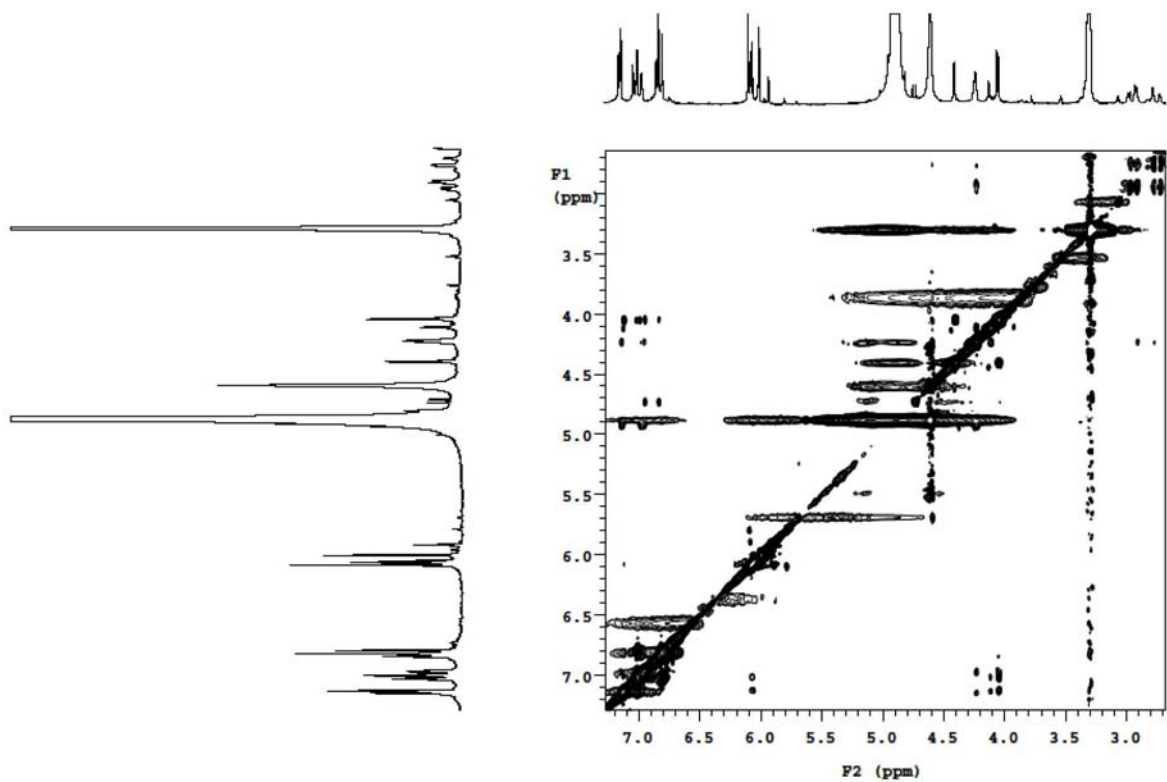


Figura 11S. Mapa de contornos NOESY (CD_3OD ; 75 e 300 MHz) para a substância 8